

Cybergeog: European Journal of Geography

Cartography, Images, GIS

2010

501

Les types de climats en France, une construction spatiale

Types of climates on continental France, a spatial construction

DANIEL JOLY, THIERRY BROSSARD, HERVÉ CARDOT, JEAN CAVAILHES,
MOHAMED HILAL AND PIERRE WAVRESKY

<https://doi.org/10.4000/cybergegeo.23155>

Abstracts

Français English

Le climat est un élément important de la vie des territoires car il conditionne le comportement et les décisions des individus et des groupes sociaux comme celui de l'ensemble des espèces vivantes et des écosystèmes. A ce titre, la différenciation de l'espace selon les climats et les aptitudes qui en résultent est un domaine qui mérite d'être réinvesti par la recherche en mettant à profit des moyens de traitement modernes de l'information. Avec cet objectif en vue, les auteurs proposent



This site uses cookies and gives you control over what you want to activate

✓ OK, accept all

[X Deny all cookies](#)

Personalize

Privacy policy

on des climats. Partant des mesures stationnelles de
s à disposition par Météo-France, un jeu de 14 variables
ans (1971-2000) est défini pour caractériser les climats et
ation. Une méthode originale dite d'interpolation locale
atiaux continus des variables en question et de les exprimer
gérables par SIG. Ces données sont ensuite soumises à un
ielle des correspondances et classification hiérarchique
logie où huit climats sont identifiés et cartographiés sur le
it complémentaire faisant appel aux probabilités permet de
ntielle de chacun des types et de nuancer la partition stricte
hèse met en perspective les résultats obtenus pour les
de compréhension du climat. Deux annexes permettent de
et les données associées à cet article.

behaviour and the decision of individuals and social groups; territory life. Therefore, dividing space according to different climatic regions requires using updated data processing resources. With this aim in mind, a new approach for defining climates and their geographical limits. Based on data made by Météo-France recording stations, a data set related to the climate worked out for a 30 years period (1971–2000), it includes 14 climatic variables and their specific variability. An original method, based on the representation of each of the 14 variables as a continuous

field and stores them in the form of GIS data layers. This data is then processed by Coupling Correspondence Analysis and Ascending Hierarchical Classification in order to obtain a typology where 8 climates are identified and mapped on the French continental territory. An additional process using a probabilistic method enables the mapping of the potential distribution space of each climate and the shading of the strict type delimitation the way it is given by classification. A final synthesis leads to interpret the obtained results within the frame of a general climate understanding. Two annexes enable the download of the cartographic documentation related to this paper.

Index terms

Mots-clés : approche quantitative, base de données en ligne, cartographie, typologie des climats

Keywords : cartography, climate typology, quantitative geography, online data base

Editor's notes

L'annexe 1 de cet article a été mis à jour le 17 mars 2015

Full text

- 1 L'information climatologique prend une place accrue dans les décisions individuelles ou collectives qui régissent la vie des territoires. Dans beaucoup de cas, l'information requise se définit selon un pas de temps très court, celui du temps qu'il fait, ou qu'il va faire dans les heures ou les jours qui viennent : il s'agit ici des situations météorologiques singulières qui peuvent être favorables ou défavorables à une activité donnée. Le climat, en tant que tel, prend corps dans un pas de temps plus long ; il se définit à travers des moyennes, des régularités mais aussi à travers des écarts, des contrastes voire des événements extrêmes comme les épisodes cévenoles. De plus, le climat ne se définit pas seulement dans le temps, par des enchaînements caractéristiques de rythmes et de cycles, mais aussi dans l'espace, par grands ensembles, zonaux d'abord, pour arriver ensuite et par emboîtements d'échelle successifs, à des partitions de plus en plus fines, jusqu'aux climats locaux, voire micro-locaux.
- 2 La réalité du climat se décline donc en fonction des facteurs qui le constituent (température, précipitation, vent, etc.), dans une grande variété d'échelles temporelles et spatiales avec des incidences spécifiques sur les activités humaines. Par exemple, les productions agricoles majeures, par delà toutes les autres contraintes qui pèsent sur elles, se répartissent par grands ensembles assez bien calés sur les zones climatiques à l'échelle de la planète. A l'opposé, certaines productions spécifiques sont, elles aussi, liées au climat mais à l'échelle de quelques kilomètres carrés seulement. À Sauternes par exemple, le terroir bénéficie des conditions climatiques généralement favorables à



This site uses cookies and gives you control over what you want to activate

s-ci sont localement marquées, grâce à la présence de fréquents brouillards d'automne, lesquels favorisent le vin *noble*, indispensable pour produire le fameux cru blanc. On pourrait multiplier les exemples pour montrer comment les conditions climatiques entrent en concordance selon une grande variété d'échelles. Le travail d'inventaire multiscalaire du climat n'obéit pas à une logique scientifique, celle de faire un état de la question aussi complet que possible, et de plus en plus souvent, au besoin d'une information pour des acteurs d'activités sont demandeurs d'information sur le climat. L'agriculture mais le tourisme et les transports sont des secteurs sensibles, surtout lorsqu'elles requièrent à leur gestion une prise en compte du climat un critère important de leur politique économique et le marché de l'immobilier sont également sensibles au climat (Cavailhès et al., 2009). En conclusion, l'information climatique reste souvent fragmentaire et les données météorologiques sont bien sûr disponibles mais il s'agit

d'une information ponctuelle, primaire, qui demande à être traitée pour être utile dans une perspective climatologique. Notre contribution s'inscrit dans cette perspective : en s'appuyant sur l'exemple d'un territoire défini, la France continentale, elle propose un mode d'analyse et de traitement des données disponibles pour produire des cartes qui restituent au mieux les variations spatiales du climat. Ces documents se réfèrent à différents modes d'expression, depuis les cartes univariées, proches de l'information initiale, jusqu'aux cartes typologiques réalisant la synthèse des variables considérées. Il est vrai que les cartes et les atlas climatiques existants proposent déjà de tels documents ; mais les procédures de compilation spatiales des données y sont rarement explicitées et formalisées. Les sources utilisées sont bien sûr citées mais beaucoup plus rarement les modes d'interpolation conduisant à restaurer la continuité des champs spatiaux et les traitements utilisés pour mettre en évidence les types climatiques et les reporter sur la carte. Or, ces opérations ne sont pas seulement des auxiliaires techniques facilitant la réalisation des documents, elles ont également une incidence sur la qualité et la fiabilité des résultats tels qu'ils sont montrés. Aussi, au-delà du cas d'application qui nous servira d'appui, notre objectif sera de poser les jalons d'une approche spatiale des climats et de leur définition couplant traitement quantitatif et instrumentation par système d'information géographique (SIG). Cette approche se caractérise par l'enchaînement de différentes méthodes :

- Une méthode originale d'interpolation dite de *régressions locales* permet de reconstituer les champs spatiaux en tenant compte des facteurs environnementaux qui commandent la distribution des variables climatiques (Joly et al., 2008 ; 2009). De la sorte, à partir des données fournies par le réseau des stations de Météo-France, une base comportant 14 couches d'information, spécifiquement choisies pour décrire le climat, est construite.
- Les données ainsi mises en ordre sont traitées par analyse multivariée afin de proposer une typologie des climats français. A cette fin, analyse factorielle des correspondances (AFC) et classification hiérarchique ascendante (CHA) ont été couplées.
- Les résultats obtenus ont fait l'objet de restitutions cartographiques qui reprennent des techniques courantes en traitement d'images. Les résultats de l'AFC sont représentés sous la forme d'une composition colorée restituant l'information des trois premiers axes tandis que la typologie issue de la CHA prendra la forme d'une image classée. Ainsi, la projection d'une partition mathématique sur l'espace géographique permettra de faire ressortir les termes d'un zonage climatique.
- Toutefois, la cohérence du zonage obtenu n'est pas totale puisque la distribution des types, commandée par la combinatoire des données, n'est pas



This site uses cookies and gives you control over what you want to activate

la proximité qui permettrait de « forcer » la partition des géographiques bien délimitées et exclusives. A cet climatique surtout, les délimitations ont toujours un moi, nous proposerons également une représentation ité en montrant l'espace de distribution potentiel de . cette fin, nous mettrons en oeuvre un modèle de

sition est développée en 3 points : 1) choix de l'espace la collecte et à la représentativité des données ; 2) gie dans ses différentes phases : interpolation, s en variables élaborées, adaptation d'une procédure ssociant analyse factorielle, classification, approche ésentation et commentaire des résultats obtenus afin qui commandent l'organisation spatiale des climats

Choix de l'espace français et caractéristiques des données acquises

- 5 Le choix de l'espace national tient à des considérations d'ordre scientifique, pratique et technique. En effet, les recherches sur le climat de la France s'intéressent surtout aux échelles fines et régionales. Ainsi, au cours des 21 colloques de l'Association internationale de climatologie (<http://climato.ulg.ac.be/doc/AIC-table.pdf>) qui se sont tenus entre 1988 et 2008, 217 contributions (environ 16 % du total) ont explicitement porté sur la France continentale. Parmi celles-ci, respectivement 44 %, 15 % et 34 % ont concerné la climatologie des échelles fine, départementale et régionale. Au total, 15 contributions seulement (7 %) ont porté sur la France entière et, pour la plupart, sans soucis de cartographie : les thématiques portent sur l'étude statistique des précipitations, des trombes, des tempêtes, du vent, avec, depuis quelques années, un intérêt marqué pour l'évolution du climat. Seules deux références se rapportent à la climatologie spatiale du territoire dans son ensemble. La première concerne l'atlas de l'insolation journalière en France (de Saintignon et Lejeune, 1992) et la seconde, proposée par les météorologues Champaux et Tamburini (1994), présente un zonage climatique effectué à partir de données de précipitations journalières.
- 6 Si, comme nous venons de le voir, les travaux de recherches sur le climat sont rares à l'échelle de la France, il y en a beaucoup plus parmi les manuels universitaires avec parfois des références fort anciennes : on ne compte plus les ouvrages dans lesquels des tableaux ou des cartes délivrent une esquisse sommaire des climats de la France. Des productions plus achevées apparaissent dans les atlas comme celui d'Arlery, déjà ancien (1979), ou d'autres un peu plus récents (Bessemoulin, 1987 ; Kessler & Chambraud, 1990 ; collectif, 1995). Ces ouvrages présentent nombre de cartes schématiques, obtenues par krigeage, sur différentes variables comme la température (les moyennes, les fortes chaleurs, la durée du gel, etc.), les précipitations (abats moyens, les averses longues et courtes, les orages, la grêle, la neige), l'ensoleillement, la nébulosité et le vent. Des tableaux fournissent également des valeurs ponctuelles tirées des stations d'observation.
- 7 Ce domaine de recherche étant quelque peu laissé en jachère, nous avons mobilisé des moyens de traitement actualisés pour le renouveler. A l'exemple du poète André Chénier (« sur des pensers nouveaux faisons des vers antiques »), la présente contribution revient sur la question ancienne, traitée de façon moderne, de la cartographie des climats et des modes de partition de l'espace qu'elle implique. A cela s'ajoute une retombée pratique puisque l'essentiel de nos résultats est téléchargeable sous forme de cartes ou de tableaux. Ces documents et leur mode d'emploi sont fournis en annexe.



This site uses cookies and gives you control over what you want to activate

o spatial de l'étude car son éloignement au continent
ents des données, le krigeage notamment.

ibles, le réseau de Météo

logie des climats que nous proposons, proviennent de
t à disposition gratuitement ou au coût marginal de
es 1971-2000 qui constituent des données dites
tion 40 de l'OMM. Ces normales ont été publiées sous

et à : <http://france.meteofrance.com/france/th=climatnormales%252FFRANCE> pour les précipitations et ensoleillement. Les conditions es accessibles sur ce site sont décrites à

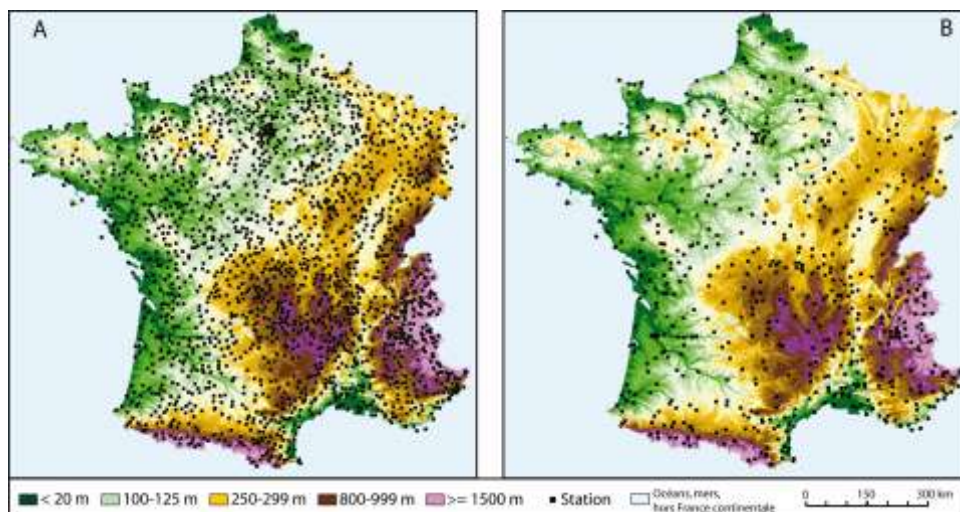
http://france.meteofrance.com/jsp/site/Portal.jsp?page_id=10266&page_id=811.

?

- dans un volume intitulé Statistiques climatiques de la France 1971-2000, pour 133 stations (110 en Métropole et 23 en outre-mer) et pour l'ensemble des paramètres climatologiques (voir http://comprendre.meteofrance.com/jsp/site/Portal.jsp?page_id=10894&page_id=344).

10 Parmi les multiples paramètres susceptibles d'être pris en compte, notre choix s'est limité aux précipitations et aux températures. Il s'agit, en effet, des déterminants fondamentaux du climat observés en un nombre élevé de postes d'enregistrement, soit respectivement 2031 et 651 (fig. 1). En revanche, la nébulosité, l'insolation, le vent, etc., ont été écartés car ces facteurs sont moins structurants à l'échelle du territoire et leurs stations de mesure, réduites à une centaine, ne satisfont pas aux contraintes d'un échantillonnage correct de l'espace (Joly, 2007). En effet, les tests préalables que nous avons effectués en intégrant ces paramètres ont fait ressortir surtout l'incidence des distorsions techniques liées à la faiblesse de l'échantillonnage sans éclairer la typologie.

Figure 1. Localisation des 2031 stations pluviométriques (A) et des 651 stations qui enregistrent la température (B)



Source : Météo-France

Constitution du jeu de variables climatiques

11 Réduits à deux, les paramètres climatiques sont toutefois exprimés par un nombre consistant de variables, 6 pour les températures et 8 pour les précipitations. Les valeurs

inées mensuelles sur la normale 1971-2000. Pour les précipitations, nous prenons les valeurs de janvier et de février pour distinguer l'hiver de l'été et capter ainsi certaines particularités de la saison à l'autre, les processus en jeu ne sont pas de la même nature. Précisons que janvier a été choisi parce qu'il est le mois le plus froid pour 56 % des stations (le reste se répartit entre février et mars). Le jeu de variables s'établit comme suit, un jeu de :



This site uses cookies and gives you control over what you want to activate

un jeu de température ;
avec une température inférieure à -5°C ;
avec une température supérieure à 30°C. Notons que l'ensemble de ces deux seuils froids (2) et chauds (3), constitue une typologie dans les domaines de l'écologie ou de la santé, par

4. [TAM] Amplitude thermique annuelle. Elle mesure la différence entre la température moyenne de juillet et celle de janvier. Cette variable est généralement reconnue comme critère de discrimination entre climats océaniques et continentaux ;
5. [TEH] Variabilité interannuelle de la température en janvier. Elle est donnée par l'écart type des 30 valeurs de température mensuelles au cours de la normale de référence ;
6. [TEE] Variabilité interannuelle de la température en juillet (même calcul que précédemment) ;
7. [PTO] Cumuls annuels de précipitation ;
8. [PDH] Ecart des cumuls de janvier par rapport à la moyenne annuelle des cumuls mensuels ;
9. [PDE] Ecart des cumuls de juillet par rapport à la moyenne annuelle des cumuls mensuels. Les variables 8 et 9 mesurent la spécificité pluviométrique de chacun des deux mois ;
10. [PJH] Nombre de jours de précipitation en janvier ;
11. [PJE] Nombre de jours de précipitation en juillet ;
12. [PEH] Variabilité interannuelle des précipitations en janvier. Elle est donnée par l'écart type des 30 valeurs de cumuls mensuels au cours de la normale de référence ;
13. [PEE] Variabilité interannuelle des précipitations en juillet (même calcul que précédemment) ;
14. [PRA] Rapport entre les abats d'automne (septembre + octobre) et ceux de juillet. Ce rapport permet de bien séparer le domaine méditerranéen du reste (Péguy, 1961 ; Douguedroit, 1972).

Méthodes

- 12 La collecte des données climatiques dépend de stations dont la densité et la répartition sont très hétérogènes selon les catégories de variables. Températures et précipitations auxquelles nous sommes contraints de limiter notre choix, proviennent de deux réseaux dont les points de mesure ne concordent pas. Il n'est donc pas possible d'établir la typologie souhaitée par un traitement direct des données stationnelles. C'est pourquoi, une interpolation variable par variable est préalablement requise de manière à produire une information qui couvre tout l'espace. Ensuite seulement, un traitement multivarié enchaînant AFC et CHA sera appliqué aux couches d'information ainsi constituées et permettra de proposer une typologie assortie d'une délimitation géographique des climats.



This site uses cookies and gives you control over what you want to activate

Institution du champ spatial : techniques

tion, une première famille repose sur les relations de pour combler les vides interstitiels : l'interpolation e, se rangent dans cette catégorie.

erpolation que l'on qualifie de « méthode optimale » es domaines d'application où elle est utilisée. Comme polation, le krigeage tire profit de l'autocorrélation fier la distance optimale à l'intérieur de laquelle les és. Cette distance, appelée portée, correspond en fait variogramme et délimite la frontière entre deux 1 deçà de la portée, regroupe les points qui présentent ie ; et (ii) celui qui, au delà de la portée, présente des

variations aléatoires par rapport au précédent. L'estimation des valeurs, effectuée à partir du variogramme, est introduite sous la forme d'une équation linéaire qui fixe le poids à attribuer aux données lors de l'interpolation.

- 14 Une seconde famille prend en considération les facteurs géographiques qui commandent la variation spatiale des composants du climat selon un emboîtement hiérarchique d'échelles, du niveau global (latitude, longitude, continentalité...) jusqu'au au niveau local (altitude, pente, orientation...). Dans ce cas, on procède par ajustement, en faisant appel aux régressions, le plus souvent. Cela revient à établir un modèle qui précise, sous la forme d'une équation, la relation qui existe entre les valeurs enregistrées aux points de mesure (variables climatiques expliquées) et les facteurs environnementaux (variables explicatives) qui jouent sur ces valeurs et leur différentiel de distribution. L'exercice implique d'identifier ces facteurs explicatifs et leur degré de significativité ; il aboutit à reconstituer, sous forme de cartes, les champs spatiaux dans leur continuité en calculant, pour tout point de l'espace géographique dont on connaît les caractéristiques environnementales, une valeur au mieux approchée de la variable climatique considérée. Les caractères de la topographie peuvent également être introduits en tant que facteurs explicatifs sous une forme synthétique après avoir fait l'objet d'une analyse multivariée (Benichou et Lebreton, 1987). Dans un précédent article (Joly et al. 2009), nous avons conduit différents tests et montré l'avantage d'une méthode originale d'interpolation appelée « interpolation locale » que nous reprenons ici pour produire les cartes univariées impliquées dans la synthèse typologique. Cette méthode consiste d'abord à segmenter le territoire en une multitude de polygones (plusieurs milliers) selon un critère de voisinage entre stations, puis à ajuster un modèle de régression propre à chaque polygone et à chaque variable en fonction des facteurs qui expliquent au mieux la variation locale de celle-ci. Les variables explicatives mobilisées pour mettre en œuvre la modélisation proviennent de deux sources : le MNT de l'IGN à 250 m de résolution et la base européenne Corine Land Cover. De la première, sont dérivées les 6 variables liées à la topographie et de la seconde 3 variables liées à l'occupation du sol. Soit :

- l'altitude,
- la pente, Il s'agit de la valeur d'inclinaison par rapport à l'horizontale (0°) du plan de régression obtenu du polynôme de degré 1 des altitudes contenues dans la fenêtre de neuf pixels centrée sur chaque station.
- l'orientation des versants est la position de ce plan de régression par rapport au nord (0°).
- la rugosité topographique, elle est un indicateur des irrégularités de relief. Elle est donnée par l'écart type des altitudes résiduelles par rapport au plan de régression (elle peut être nulle en présence de plat ou sur un versant



This site uses cookies and gives you control over what you want to activate

surélévation topographique correspond à la moyenne de la fenêtre : un fond de vallée exigu prend une un point dominant (crête, sommet) est doté d'une

éorique, il est calculé pour le solstice d'été (21 juin) en ; topographiques, t indice de biomasse (Joly, 2007) a été reconstitué à on du sol auxquels on a attribué une valeur d'indice ense de centre ville, les aéroports, etc. ; 250 pour la

mer.

ir pour chacune des 14 variables climatiques retenues ses variations spatiales à échelle fine tout en couvrant

l'ensemble du territoire (annexe 1). Précisons que certains secteurs de haute montagne ne seront pas interpolés puisque les valeurs d'altitude dépassent la borne supérieure de l'échantillon (2549 m) qui a servi de support à la description du modèle. Tout au plus accorderons nous une marge de 20 % au-delà de la limite maximale renseignée. Les pixels concernés sont codés de manière spécifique et apparaissent en gris sur les cartes

16 Une batterie de tests permet de s'assurer de la qualité des modèles. En effet, à l'issue de chaque régression, une validation croisée (Stone, 1974) est appliquée pour évaluer les performances de l'estimation. Cela revient à effectuer les calculs de régression en évacuant une station du corpus à chaque itération, en répétant ce processus pour toutes les stations (méthode dite « Leave-one-out » ; Plutowski, 1994), on obtient 2031 valeurs de précipitations ou 651 de températures théoriques et donc autant de résidus dont l'écart type est calculé. Dans la mesure où, par leur nombre, les stations échantillonnent convenablement l'espace français (Joly, 2007), ce type de validation constitue un bon outil d'évaluation de la performance du modèle. Ces résidus servent de support à un krigeage, seconde étape de l'interpolation.

17 La performance du modèle est d'abord évaluée grâce à l'écart type des résidus. Cet indice est utile pour comparer des variables où les unités sont identiques. On a ainsi pu montrer que les écart types des erreurs d'estimation des températures sont plus élevés l'hiver que l'été (Joly et al., 2008) et inversement pour les précipitations (Joly et al., 2009). Le recours à l'écart type pour comparer des erreurs d'estimation de variables dont les unités sont différentes (degrés, mm, nombre de jours, etc.) est plus délicat. C'est pourquoi nous avons comparé ces dernières grâce à l'indice de performance suivant :

$$ind_P = (1 - (\partial_{res} / et_{obs}))^2$$

18 Où : ∂_{res} est l'écart type des résidus et_{obs} est l'étendue des valeurs de la série d'observation

19 Cet indice est préféré au coefficient de variation ($\partial_{res} / moy_{obs}$) car l'étendue de la série d'observation a un sens climatologique : deux régions différentes peuvent présenter des moyennes sensiblement identiques mais des écarts internes très différents. Les écarts de température sur un site de plaine sont d'ordinaire faibles, l'interpolation est aisée, les résidus faibles. En montagne, les écarts entre les températures les plus basses (sommets) et les plus élevées (fond de vallée) sont élevés, révélant la juxtaposition de microclimats distincts. En ce cas, l'interpolation est difficile, les résidus élevés. Ainsi, ind_P permet d'exprimer l'erreur d'estimation donnée par l'écart type, en référence à l'écart potentiellement maximum (l'étendue) de chaque série climatique. Son interprétation est analogue à celle du coefficient de détermination : une valeur élevée, proche de 1, indique que l'écart type des résidus est faible, compte tenu inversement, une mauvaise estimation se traduira par



This site uses cookies and gives you control over what you want to activate

que les écarts-types des résidus sont intéressants à la qualité de l'interpolation de plusieurs mois d'une des résidus de la variabilité des températures sur la (bonne 4) est analogue en janvier (0.09) et en juillet (le des précipitations (tableau 2, colonne 4) est en 6 mm) qu'en juillet (4,1 mm).

Observation, écart type des résidus et indice de performance aux températures ; 01, 07 =janvier, juillet

		(3)	(4) variabilité	
Nombre de jours		amplitude	1971-2000	
> TMN	> 30°C TMX	07-01 TAM	01 TEH	07 TEE

étendue (obs.)	14,6	130	76	11,6	18	18
éc. type (res.)	0,41	6,3	4,2	0,38	0,09	0,08
ind_P	0,95	0,90	0,89	0,93	0,90	0,92

21 Malgré des valeurs d'écart-type très différentes, l'indice de performance permet de comparer la qualité de l'interpolation de la température et des précipitations : l'erreur d'estimation s'inscrit dans une fourchette comprise entre 4 et 5 % de l'étendue des valeurs d'observation des quatre séries considérées. Le nombre de jours de précipitation en janvier, avec un indice de performance de 0,82 est la variable dont l'écart-type des résidus d'estimation est le plus élevé proportionnellement à l'étendue de la série. En revanche, l'écart-type des résidus est inférieur à 3 % de l'étendue des valeurs d'observation pour trois variables : écart à la moyenne des précipitations de janvier (0,96), rapport des précipitations d'automne sur celles d'été (0,96) et moyenne annuelle des températures (0,95).

Tableau 2 : Etendue des séries d'observation, écart-type des résidus et indice de performance des huit variables relatives aux précipitations ; 01, 07 =janvier, juillet

	Précipitation							
	(1) Cumul	(2) écart à la moyenne		(3) nombre de jours		(4) Variabilité 1971-2000		(5) Rap.
	Année PTO	01 PDH	07 PDE	01 PJH	07 PJE	01 PEH	07 PEE	36,9 PRA
étendue (obs.)	1834	3086	3160	13,8	12,3	190,5	92,3	36,9
éc. type (res.)	80,7	5,4	11,0	1,3	0,4	7,6	4,1	0,76
ind_P	0,91	0,96	0,93	0,82	0,94	0,92	0,91	0,96

22 Les calculs et des modélisations statistiques utilisés pour l'interpolation des variables climatiques ont été réalisés grâce au logiciel LISDQS (logiciel d'interpolation statistique de données quantitatives et spatiales (JOLY, 2009)) développé à Besançon.

Réalisation de la typologie en couplant AFC et CVA



This site uses cookies and gives you control over what you want to activate

les 14 cartes obtenues de l'interpolation. L'association pondances (AFC) et de la classification hiérarchique r une typologie apte à être représentée sous forme de

leur découpage en classe

	Classe 1	Classe 2	Classe 3	Classe 4	Classe 5
e (°C)	< 9,4	< 10,4	< 11,4	< 12,8	> = 12,8
à -5°C	< 4,0	< 8,0	< 14,0	< 25,0	> = 25,0
ur à +	< 4,0	< 9,0	< 15,0	< 23,0	> = 23,0

TAM	Amplitude thermique (°C) (juillet-janvier)	< 13,5	< 14,7	< 15,7	< 16,9	> = 16,9
TEH	Variabilité 1971-2000 en janvier (°C)	< 1,7	< 2,0	< 2,1	< 23,	> = 23,
TEE	Variabilité 1971-2000 en juillet (°C)	< 1,2	< 1,3	< 1,4	< 1,5	> = 1,5
	Précipitations					
PTO	Cumul annuel (mm)	< 710	< 800	< 940	< 1150	> = 1150
PDH	Ecart à la moyenne en janvier (mm)	< -6	< 0	< 7	< 16	> = 16
PDE	Ecart à la moyenne en juillet (mm)	< -35	< -22	< -9	<-2,7	> = -2,7
PJH	Jours de précipitation en janvier	< 9	< 11	< 12	< 13	> = 13
PJE	Jours de précipitation en juillet	< 6	< 7	< 8	< 9	> = 9
PEH	Variabilité 1971-2000 en janvier (mm)	< 32	< 40	< 50	< 70	> = 70
PEE	Variabilité 1971-2000 en juillet (mm)	< 27	< 31	< 35	< 41	> = 41
PRA	Rapport (sep. + oct.) / juillet	< 2	< 2,5	< 3	< 6	> = 6

24 Les variables cartographiées ont été préalablement discrétisées en 5 classes (tableau 3) de manière à ce que la classe centrale, les deux classes intermédiaires et les deux classes extrêmes concentrent respectivement environ 40 %, 20 % et 10 % de l'échantillon. De la sorte, toutes les unités de carroyage qui couvrent le territoire sont décrites d'une manière homogène autorisant un codage booléen (dont les valeurs sont exprimées en 0 ou 1). Certes, dans l'exemple présenté, les variables initiales sont quantitatives et pourraient tout aussi bien faire l'objet d'une ACP mais le choix de l'AFC et de variables discrètes se justifie pour plusieurs raisons. Tout d'abord, l'AFC peut permettre le cas échéant, d'intégrer des données qualitatives (direction des vents dominants par exemple), ce qui, au-delà du cas traité, donne une portée plus générale à la procédure. Ensuite, chaque variable est représentée par plusieurs modalités booléennes sur les graphes factoriels dont l'organisation est ainsi rendue plus lisible et aisément interprétable. Une fois la classification réalisée, l'analyse de la distribution des modalités booléennes au sein des classes aide à leur donner une définition qui prend appui sur les fréquences observées. Enfin, ces mêmes fréquences fournissent l'information nécessaire au calcul de probabilité mis en œuvre pour définir l'espace de distribution potentiel de chaque type climatique. Au total, traiter des variables discrètes

est un intérêt à chaque phase de la procédure : traitement statistique, ce qui renforce l'assise et la cohérence formelle des résultats, puis la mise en œuvre.

Un panel de 3364 points a été extrait selon un échantillonnage stratifié non aligné (document annexe n° 1), qui mêle les données de Zeeversmaecker, 1987) Les données se présentent ainsi et sont soumises au traitement mathématique. Dans ces correspondances constitue un outil intéressant : les matrices booléennes et fait ressortir les structures spatiales des modalités binaires de chaque variable sur les axes factoriels (figure 2).

Enfin, en générant des axes factoriels, donne lieu à un espace dans lequel se positionnent individus et caractères. Une fois ainsi construite, il est possible de procéder à une classification hiérarchique sous la forme d'un arbre hiérarchique. Dans le cas contraire, une classification hiérarchique ascendante conduira à la même partition. Ces résultats sont croisés avec ceux de l'AFC avant



This site uses cookies and gives you control over what you want to activate

d'être projeté sur la carte (document annexe 3). Ces résultats peuvent être croisés avec ceux de l'AFC pour établir une concordance entre la typologie et la structure d'ordre factorielle (document annexe 4).

Représentation graphique et représentation cartographique

- 27 A ce stade de la procédure, seul le semi des unités échantillonnées a été traité. Il convient donc de généraliser ce résultat à l'espace dans sa continuité comme nous l'avons vu à propos des interpolations. Dans cet exercice, nous mettons à profit une des possibilités offertes par l'AFC consistant à projeter dans l'espace factoriel des éléments, caractères ou individus, qui n'ont pas été introduits au départ dans l'analyse. Précisons tout d'abord que la position factorielle de chacune des 3364 unités qui composent l'échantillon de référence est déterminée par celle des caractères booléens qui la décrivent et, réciproquement, la position de chaque caractère est déterminée par la position des individus qui le possèdent. Cette propriété est appelée équivalence distributionnelle (Escofier, 1978). Grâce à celle-ci, on recalcule la position de tout élément nouveau introduit a posteriori, autrement dit, celle de chaque unité de carroyage qui compose l'espace français métropolitain et qui n'a pas été échantillonnée. De la sorte, il est possible de cartographier les résultats de l'AFC, axe par axe ou sous la forme d'une composition colorée synthétisant l'information des trois premiers axes comme on le fait habituellement en traitement d'image (document annexe 4). Ce principe de généralisation spatiale peut être étendu aux résultats de la classification puisque l'appartenance typologique des unités est également dépendante de leurs coordonnées factorielles ; ce qui permet de représenter le résultat de la classification sous forme de carte. Chaque phase de la procédure fait donc l'objet d'une double représentation, l'une graphique résultant du traitement de l'échantillon et l'autre, cartographique issue de la généralisation par la méthode des éléments supplémentaires.

Incertitude des limites : apport de l'approche probabiliste

- 28 La partition de l'espace obtenue d'une CHA a un caractère réducteur puisqu'elle est exclusive : chaque unité de carroyage appartient à une seule classe. La simplification qui en résulte est évidemment commode puisque toute l'information traitée est représentée sur un seul document. Cependant, en climatologie comme en beaucoup d'autres domaines, les limites franches sont l'exception. En effet, s'il existe bien des



This site uses cookies and gives you control over what you want to activate

type climatique donné est indiscutable, il s'agit le plus souvent de zones inscrites et distantes, entre lesquels l'espace est constitué de zones de transition au climat hybride, d'où le caractère flou (Alexandre, 2008 ; Durand-Dastes et Sanders, 1984). Pour fournir une représentation cartographique, nous adoptons une approche bayésienne fondée sur les probabilités (Taylor et al., 1998). Les modalités booléennes au sein de chaque classe sont combinées de manière additive pour donner des probabilités marginales qui permettent, si l'on connaît le profil d'un individu, de calculer la probabilité qu'il a d'appartenir à chacune des classes (Gauvreau et al., 2005).

$$P(A) = \sum_{j=1}^n P(A \cap B_j) = \sum_{j=1}^n P(B_j) \times P(A/B_j)$$

$$P(B_j) \times P(A/B_j)$$

où $P(B_i / A)$: probabilité conditionnelle de l'évènement B_i sachant que l'évènement A est réalisé (par exemple, probabilité de la modalité TMO1 d'appartenir à la classe 1) ;

$P(B_i)$: probabilité conditionnelle de l'évènement B_i (fréquence d'apparition de la modalité TMO1) ;

$P(A / B_i)$: probabilité conditionnelle de l'évènement A sachant que l'évènement B_i est réalisé (fréquence d'apparition de la modalité TMO1 dans la classe 1) ;

$P(B_j)$: probabilité conditionnelle de l'évènement B_j (fréquence d'apparition des différentes modalités) ;

$P(A / B_j)$: probabilité conditionnelle de l'évènement A sachant que l'évènement B_j est réalisé (fréquence d'apparition des différentes modalités pour la classe 1) ;

n : nombre d'évènements possibles (nombre de modalités).

- 29 L'application de cette méthode nous donnera le moyen de nuancer l'interprétation des résultats de la classification (§ 3.2., figure 3)

Résultats

La carte typologique

- 30 Ce document (figure 2) repose au départ sur une partition abstraite de l'espace factoriel organisée par la structure d'ordre. La classification conduit à une partition de l'espace géographique, également cohérente. La façade méditerranéenne (type 8), l'opposition entre le climat océanique franc (type 5) et le climat semi-continental (type 2), l'effet d'altitude (type 1) ressortent directement à la vue de la carte comme faits structurants majeurs de l'espace. Une structure géographique par ensembles spatiaux est donc sous-jacente à la structure d'ordre factorielle. Toutefois, il est important de garder à l'esprit que la typologie représentée sur la carte ne correspond pas à un zonage géographique direct. Celui-ci ne prend corps qu'avec la concordance constatée entre partition mathématique et partition géographique. C'est pourquoi, lorsque nous définirons un climat comme méditerranéen, océanique doux, etc., c'est en fonction de ses caractéristiques intrinsèques, sans contrainte de délimitation géographique stricte.
- 31 On remarquera que tous les types présentent, sur leurs marges, de petits secteurs enclavés dans le type voisin. Cette particularité montre que le passage d'un type à l'autre n'est pas brutal, mais s'effectue de manière progressive à l'intérieur d'une frange en règle générale assez mince où l'appartenance à un des deux types voisins est incertaine. Il n'en va pas de même pour deux types :

le climat méditerranéen (type 8) (climat du Sud-Ouest) qui caractérise la Limagne et le nord



This site uses cookies and gives you control over what you want to activate

climat méditerranéen altéré) qui apparaît loin du type 8 (climat océanique franc) dans plusieurs endroits du littoral atlantique.

Il faut que les espaces considérés, bien qu'éloignés l'un de l'autre, partagent des caractères climatiques. Si proximité spatiale est mise en évidence par la statistique, deux points éloignés peuvent, parfois,

permettre l'exploration systématique des relations entre les types de climats (document annexe 5). Les cartes sont ainsi mises au jour et s'établissent comme

montagne

- 34 En raison de sa grande dispersion spatiale, il est difficile de parler de climat franc avec le type 1 qui associe Pyrénées, Massif central, Alpes, Jura, Morvan, Ardennes et, malgré des altitudes modestes, les plateaux à l'est de la Champagne et une partie de la Lorraine et de la Franche-Comté. Ce type regroupe évidemment tous les lieux où les influences montagnardes et/ou semi-continentale sont prépondérantes, ce qui se traduit par : un nombre de jours et un cumul élevés de précipitation, une température moyenne inférieure à 9,4°C et, corrélativement, plus de 25 jours au cours desquels la température minimale a été inférieure à -5°C et moins de 4 avec un maximum supérieur à 30°C. La variabilité interannuelle des précipitations de juillet et des températures d'hiver et d'été est maximale.

Type 2 : le climat semi-continental et le climat des marges montagnardes

- 35 Le type 2 fait transition entre les climats de montagne et :
- au nord, le type 3,
 - au sud-ouest, le type 4,
 - au sud-est, le type 8.
- 36 Il regroupe les périphéries montagnardes et s'étend sur de vastes secteurs en Bourgogne, Lorraine et Alsace où les températures sont moins froides qu'en montagne (elles sont cependant, à altitude égale, plus froides que partout ailleurs), les précipitations légèrement plus faibles et moins fréquentes, mais la variabilité climatique sur la normale 1971-2000 tout aussi élevée. Le faible rapport entre les précipitations d'automne et d'été est une autre caractéristique de ce type.

Type 3 : Le climat océanique dégradé des plaines du Centre et du Nord

- 37 Ce type affecte l'ensemble du Bassin parisien avec une extension vers le sud (vallée moyenne de la Loire, le nord du Massif central et vallée de la Saône). Le climat reste océanique mais avec de belles dégradations. Les températures sont intermédiaires (environ 11°C en moyenne annuelle, entre 8 et 14 jours avec une température inférieure à -5°C). Les précipitations sont faibles (moins de 700 mm de cumul annuel), surtout en été, mais les pluies tombent en moyenne sur 12 jours en janvier et sur 8 en juillet, valeurs moyennes rapportées à l'ensemble français. La variabilité interannuelle des précipitations est minimale tandis que celle des températures est élevée.



This site uses cookies and gives you control over what you want to activate

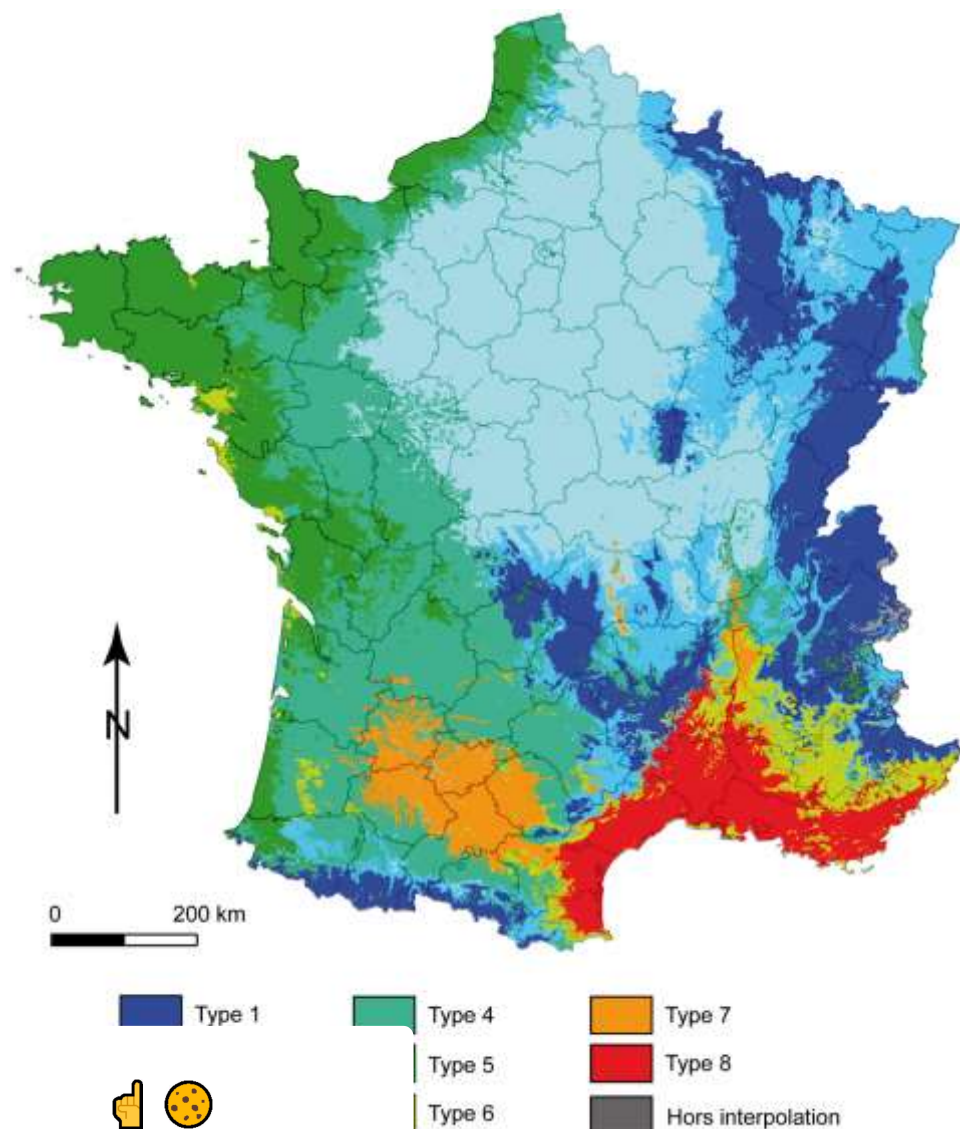
climatique altéré

paraît comme une transition entre l'océanique franc (type 3). Entre le Nord-Pas-de-Calais et la Normandie il y a une transition qui s'élargit jusqu'à atteindre le sud-ouest du Massif central, de la Dordogne à la Gironde. La température moyenne annuelle est assez élevée (environ 11°C) et les froids faibles (entre 4 et 8/an) et chauds soutenus. Le bilan thermique annuel (juillet-janvier) est proche du bilan thermique annuel moyen. Les précipitations, moyennes en France, sont faibles surtout l'hiver, l'été étant assez sec.

climatique franc

39 Le climat océanique occupe un mince liseré en bordure de la Mer du Nord et l'ensemble de la Normandie, la Bretagne, la Vendée et les Charentes. Un espace océanique réduit occupe l'ouest des landes et des Pyrénées-atlantiques. Les températures sont moyennes et très homothermes : l'amplitude annuelle (moins de 13°C d'écart entre juillet et janvier), le nombre de jours froids (moins de 4) et chauds (moins de 4) et la variabilité interannuelle sont minimaux. Les précipitations sont annuellement abondantes (un peu plus de 1000 mm) et fréquentes en hiver (plus de 13 jours en janvier). L'été est également pluvieux (8-9 jours en juillet) mais les cumuls sont réduits. Le climat océanique se caractérise enfin par une forte variation interannuelle des précipitations d'hiver.

Figure 2. Typologie climatique du territoire français en 8 classes



This site uses cookies and gives you control over what you want to activate

arranéen altéré

nd surtout sur les Alpes et les Préalpes du sud, départements des Alpes-de-haute-Provence et de la nt quelques lambeaux en rive gauche du Rhône, à la òrme d'un étroit liseré à l'ouest, entre les Pyrénées ature moyenne annuelle est élevée, avec des jours de urs chauds compris entre 15 et 23/an. La variabilité e juillet est minimale : l'été est répétitivement chaud es précipitations annuelles est moyen (800-950 mm) omogènement. L'automne et l'hiver, humides et très

variables d'une année à l'autre, s'opposent à l'été, sec et stable sur la normale 1971-2000.

Type 7 : Le climat du Bassin du Sud-Ouest

- 41 Ce type concerne une zone géographiquement composite, située à cheval sur plusieurs régions (Aquitaine, Languedoc) et centrée sur le bassin moyen de la Garonne. Par commodité, nous la dénommerons « Bassin du Sud-ouest ». Il est caractérisé par une moyenne annuelle de température élevée (supérieure à 13°C) et un nombre élevé (> 23) de jours chauds tandis que les jours qui présentent un gel inférieur à -5°C sont rares. L'amplitude thermique annuelle est élevée (15 à 16°C) et la variabilité interannuelle des températures d'hiver et d'été est faible. Les précipitations, peu abondantes en cumul annuel (moins de 800 mm) et en hiver, le sont un peu plus durant l'été. Elles sont plus fréquentes en hiver (9-11 jours) qu'en été (moins de 6 jours). Cette répartition indique que l'intensité des précipitations est faible l'hiver (précipitations océaniques) et plus élevées l'été (perturbations orageuses venant de l'Espagne ou du golfe de Gascogne). La variabilité interannuelle des précipitations est moyenne.

Type 8 : Le climat méditerranéen franc

- 42 Le climat méditerranéen occupe une bande d'une petite centaine de kilomètres autour de la mer éponyme, depuis les Pyrénées jusqu'au Var. Au-delà, dans les Alpes maritimes, le méditerranéen se rétrécit à tel point qu'il finit par ne plus apparaître que ponctuellement au sein des vallées alpines. En revanche, ce type s'élargit en Camargue, au passage du Rhône dont il investit la vallée jusque dans la Drôme. Le rebord oriental du Massif central, en Ardèche, est également affecté par ce climat. Les caractères climatiques sont très tranchés, plus que dans chacun des sept précédents climats. Les températures annuelles sont élevées, associées à des jours froids rarissimes et des jours chauds fréquents. L'amplitude interannuelle est élevée (plus de 17°C entre juillet et janvier) tandis que ces caractères sont très stables d'une année à l'autre. Le rapport très élevé entre précipitations d'automne et précipitations d'été (> 6) est le caractère principal de ce climat. Le cumul annuel des précipitations est faible avec un été aride mais un hiver plutôt bien arrosé malgré un faible nombre de jours de pluie. Ces caractères sont également stables d'une année à l'autre.

L'espace de distribution probable des types

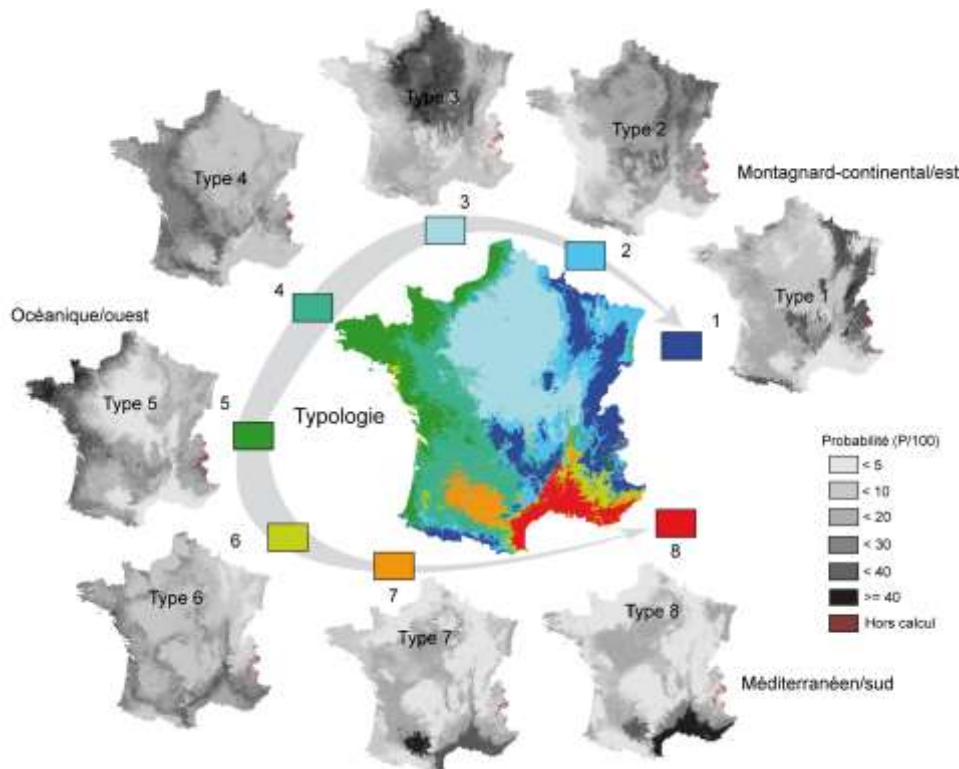


This site uses cookies and gives you control over what you want to activate

l'ordonnance logique entre gradients factoriels et gradients spatiaux. La carte centrale reprenant la typologie, huit cartes ont été réalisées qui correspondent à un type dont elle montre l'espace de distribution relatif de la typologie est ainsi mis en évidence. Le montage présente une affinité plus ou moins forte avec les huit types. Le montage montre comment s'organise la transition entre le climat montagnard-continentale à l'est (type 1). Ces deux types (climat océanique dégradé des plaines) affectent des zones séparées par des valeurs de probabilité élevées, tandis que les types intermédiaires, plus diffus dans l'espace et sans limite nette. On note aussi une rupture nette entre les types 4 et 3. Les types 1 et 2 ne se mélangent pas. En revanche, le type 2 est un type hybride dont des affinités avec les types 1 et 3 sont notées. Le montage établit les modalités de passage qui existent entre les types méditerranéen. L'organisation de ce gradient sud est bien

tranchée. En effet, les affinités entre les types 7 et 8 sont très fortes puisque les cartes correspondantes, très semblables, ne se différencient qu'avec les valeurs de probabilité fortes qui circonscrivent des espaces aux limites nettes. Le type 6 qui assure la transition avec l'océanique (type 5) dessine un espace en dentelle dont les réticules affectent tout le territoire. Ce type dont l'extension spatiale révélée par la CHA est réduite, montre ici son affinité avec toutes les zones de franges des pôles climatiques majeurs qui structurent le territoire.

Figure 3 : Espace de distribution probable des types climatiques : gradients factoriels et gradients géographiques



Synthèse climatique

- 44 Au terme de l'analyse que nous venons d'effectuer, il apparaît que les climats de France s'organisent en trois pôles. Les deux premiers, océanique et méditerranéen, sont caractérisés par des masses d'air propres dont l'influence se diffuse sur de vastes portions du territoire par advection ; le troisième est lié à la montagne. La figure 4 apporte un support visuel à cette synthèse.



This site uses cookies and gives you control over what you want to activate

Entre la Vendée et les Alpes de Haute Provence sépare France du Sud. Tracé empiriquement et très septentrionale du climat méditerranéen altéré (type 7).

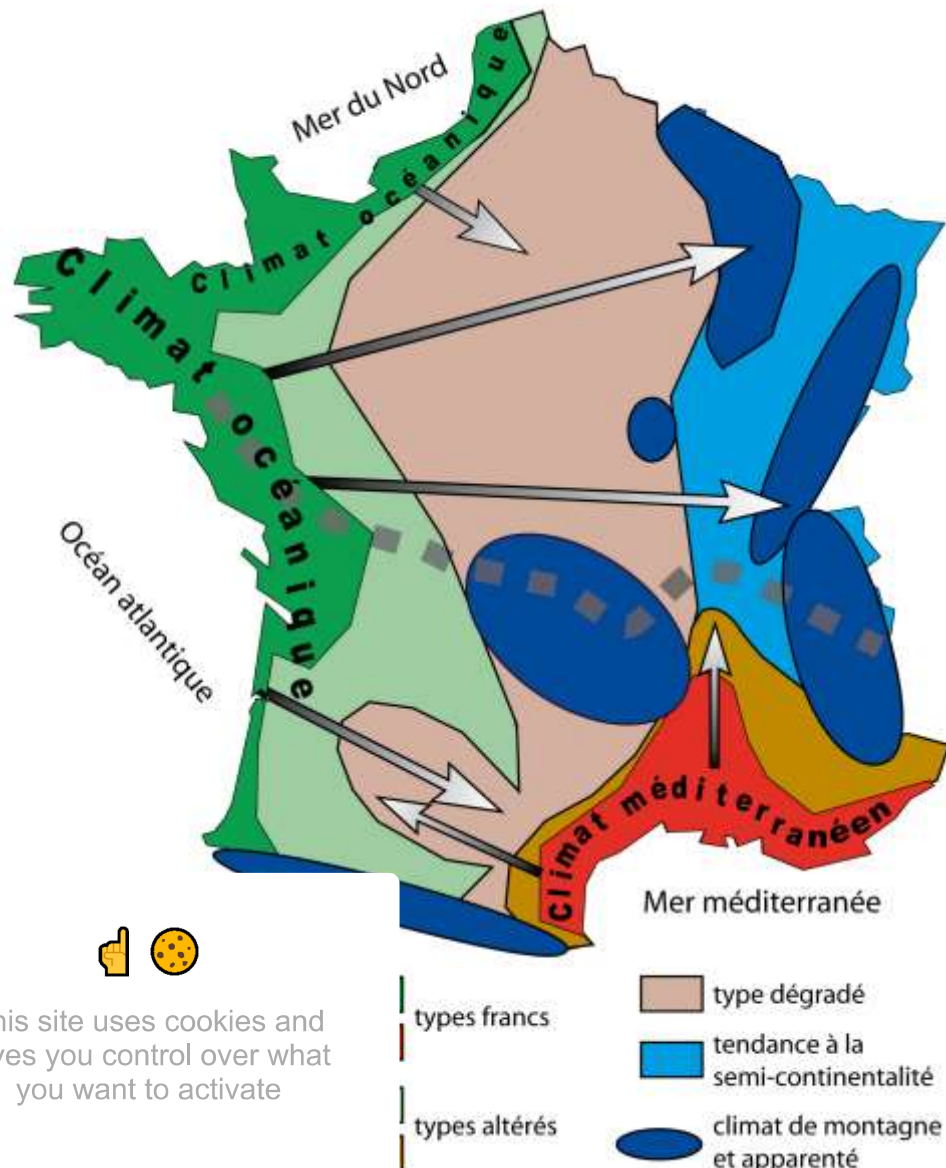
méditerranéen

méditerranéenne, ont une influence forte et directe moins large mais leur effet ne se cantonne pas au la façade océanique, l'air peut fluer d'ouest en est et le climat sur plusieurs centaines de kilomètres de é méditerranéen, la dynamique des masses d'air est re des reliefs qui font barrière (Pyrénées, Cévennes, ont les flux (Rhône). En progressant à l'intérieur des eurs caractères initiaux pour en acquérir d'autres à e le milieu continental qu'elles traversent. De ce fait,

les termes du bilan énergétique se modifient, les températures d'été deviennent plus élevées et celles d'hiver plus basses ; l'amplitude thermique augmente. De leur côté, les reliefs jouent aussi un rôle décisif : sur les versants au vent, le volume et le nombre de jours de précipitation s'élèvent tandis qu'ils diminuent sous le vent par effet de foehn.

47 La France climatique est ainsi déterminée par le jeu croisé de ces différents facteurs. Une longue bande ouest qui va du Nord jusqu'au Pays Basque, est marquée par un climat océanique franc (type 5) qui laisse place, plus à l'est, à une variante altérée formant le type 4. Ensuite, le gradient se dédouble en deux branches : au nord (type 3), sur le Bassin parisien notamment, le climat s'assèche et surtout, se refroidit : des gelées peuvent survenir durant six mois de l'année et les jours chauds sont rares. Au sud-ouest, c'est la douceur qui tend à marquer le climat : les gels sont rares, même au cœur de l'hiver ; les étés enregistrent de fortes chaleurs et les précipitations sont bien présentes. Cette région subit une double influence, océanique pour les précipitations et méditerranéenne pour les températures.

Figure 4. Schéma synthétique de l'espace des climats



This site uses cookies and gives you control over what you want to activate

Le gradient, la continentalisation du climat se poursuit en Alsace et la Franche-Comté. Les caractéristiques du climat continental se poursuivent à travers l'action dynamique des perturbations zonales d'hiver, mais leur effet est contrebalancé par celui des perturbations méditerranéennes qui tendent à s'imposer, en automne et en hiver surtout. On parle de « climat semi-continental » (type 2). Les plaines du sud-ouest ont un climat doux en hiver, parfois étouffantes en été. Les précipitations sont abondantes, surtout d'automne et d'hiver, car elles sont favorisées par l'effet de foehn comme c'est le cas en Alsace.

La montagne

- 49 La montagne constitue le troisième facteur majeur qui commande la distribution des climats. Elle impose un gradient qui joue surtout à la verticale et très peu en extension horizontale. Avec l'altitude, les températures (en dehors des situations météorologiques d'inversion), diminuent tandis que les précipitations augmentent, au moins jusqu'à 2500 m. Partout sur le territoire, dès que l'altitude devient sensible (selon un seuil qui s'abaisse vers le nord) les caractères du climat sont suffisamment modifiés pour que l'on change de type. Dans les Préalpes du sud, on passe du méditerranéen franc au méditerranéen altéré. Dans la montagne pyrénéenne, l'océanique altéré marque la frange du piémont, de même que, à l'ouest du Massif central, la marge montagnarde est soulignée par le type 2 que l'on retrouve plus largement distribué à l'est.
- 50 De ces considérations, quelques faits majeurs ressortent. Climat de montagne et climat semi-continental présentent des analogies fortes : hiver froid, été pluvieux. En conséquence, le climat de montagne qui devrait, en principe, être circonscrit aux massifs (Alpes du nord, Jura, Vosges, Ardennes) déborde de ceux-ci et gagne des zones d'altitude modeste comme les plateaux du Jura, la Porte de Bourgogne, le Plateau lorrain. De la même façon, le type 2 couvre largement le Nord-Est : plateaux d'altitude moyenne et élevée mais aussi plaines où la semi-continentalité confère au climat des caractéristiques convergentes. Ailleurs, l'extension du type 2 est réduite car ce dernier y assure une transition rapide entre la montagne et les régions alentour, qu'elles appartiennent au domaine océanique ou méditerranéen. Enfin, les montagnes du nord-est (Vosges, Jura) subissent l'effet conjugué de l'altitude et de la semi-continentalité. C'est pourquoi on y observe des minima de température si bas et si fréquents (Joly et al., 2008).

Conclusion

- 51 Les termes d'une approche quantitative portant sur la définition des climats et de leur délimitation spatiale, ont été posés et appliqués au territoire français métropolitain.
- 52 Un des premiers points à considérer porte sur le choix des données initiales. Celles-ci doivent être aptes à une appréhension synthétique du climat et de ses variations spatio-temporelles. Ces considérations ont fortement contraint nos choix puisque seules les mesures de température et de précipitation offraient les qualités requises. La synthèse qui résulte de l'exercice apporte donc un éclairage partiel de la réalité climatique mais elle reçoit la caution d'une méthodologie éprouvée. A cet égard, les séries trentenaires (1971-2000) prises en compte donnent aux mesures la profondeur temporelle



This site uses cookies and gives you control over what you want to activate

ateurs pertinents qui signent l'identité des climats : s, écart etc. Un jeu de variables adéquat a été tiré des : traité.

ue les champs spatiaux de chacune des variables en : une méthode originale, dite d'interpolation locale. des d'interpolation, permet d'informer l'espace dans isi des disparités qui existent dans l'implantation des avantage distinctif est de « coller » au mieux aux variable, telles qu'elles sont déterminées par les t, point à point dans l'espace. Le gain de précision qui délimitation spatiale des climats. D'un point de vue nte sous la forme de couches de données qu'il est ar SIG ; elle peut même être diffusée en ligne et en ci. Les annexes 1 et 2 donnent toutes les instructions

s'offrent à de multiples traitements itératifs que lyse d'images. L'option prise d'associer AFC et CHA a

permis de construire une typologie du climat et de mettre en évidence les logiques fonctionnelles qui la fondent. Le recours complémentaire à un modèle de probabilité a fait ressortir le caractère relatif de la typologie qui s'inscrit dans l'espace à la fois par des noyaux bien marqués et par des transitions nuancées. Ainsi, les huit types qui partitionnent la France continentale s'organisent en trois ensembles majeurs qui polarisent l'espace : océan, méditerranée, montagne. La façade atlantique est affectée d'un climat océanique franc qui se mue en climat océanique altéré sur sa frange est. Ensuite, la transition vers des formes dégradées opère selon deux branches : la première, au nord, suit un gradient de continentalisation croissante, faible d'abord avec le Bassin parisien, puis plus marqué vers l'est, à mesure que la température moyenne s'abaisse et que le jeu des saisons devient contrasté ; la seconde branche beaucoup plus courte se limite au Sud-ouest où le rôle de la continentalisation n'est guère sensible car l'influence méditerranéenne prend très vite le relais. Autour de la méditerranée, le climat franc occupe une frange plus réduite car les contraintes de relief (effet de barrière ou de couloir) se font très vite sentir pour donner place à des formes de climat méditerranéen atténué. La montagne apparaît comme le troisième facteur d'organisation du climat en raison de l'altitude qui vient y prendre le pas sur les autres déterminants sans que ceux-ci s'effacent complètement. C'est pourquoi, à un niveau d'analyse plus fin, il conviendrait de distinguer la montagne du Nord-Est (Vosges, Jura, Alpes du Nord), la montagne méditerranéenne (Alpes du Sud, Sud du Massif Central, Pyrénées orientales) ou encore la montagne océanique (Massif Central, Pyrénées occidentales).

55 L'étude présentée porte sur la normale 1971-2000 et prend cette période comme référence pour en tirer une image des climats français qui ne tient pas compte de leur caractère évolutif où peuvent se lire des tendances. Or, depuis la fin des années 1970, on assiste à un changement sensible qui se traduit notamment par une augmentation des températures. La normale considérée et toutes les variables qui en ont été tirées pour décrire le climat négligent cette dérive temporelle qui n'est évidemment pas au cœur de notre propos actuel mais qui ouvre à notre approche un nouveau champ d'investigation où elle pourra se mettre à l'épreuve.

Bibliography

Alexandre F., 2008, "Géographie et Ecologie végétale. Pour une nouvelle convergence", Mémoire d'habilitation à diriger des recherches, Université de Paris Diderot. 347 p.

Arlery R., 1979, "Le Climat de la France", In : Ministère des Transports, Secrétariat Général de l'Aviation Civile et Direction de la Météorologie Nationale, Paris, 131 p.

Benichou P., Lebreton O. (1987), "Prise en compte de la topographie pour la cartographie des champs pluviométriques statistiques". *La météorologie*, 71ème série, vol. 19, 23-34.



This site uses cookies and gives you control over what you want to activate

ue de la France Edition Réduite", Ministère des Transports, ville et Direction de la Météorologie Nationale, Paris, 29

., Nilsen L., 1999, "Monitoring and mapping of arctic pling numerical classification of vegetation data with SPOT *International Journal of Remote Sensing*, vol. 20, No 15 &

ard T., Cardot H., Wavreski P., 2009, "The price of climate: umers", The 5th Urban Research Symposium "Cities and paraître dans les *Actes du colloque*).

1, "Zonage climatique de la France à partir des séries de au climatologique d'état", *Publications de l'Association*, 92-98.

2, Atlas de France ; vol. 6, J.-Cl. Wieber, coord., 144 cartes

2, "Les atlas des fréquences de l'insolation journalière en *Internationale de Climatologie*, vol. 5, 303-312.

Douguedroit A., 1972, “*Les forêts de Haute-Provence et des Alpes maritimes : étude de biogéographie*”, Thèse d’Etat en géographie, Université Paris -VII, 924 p., publiée en 1976, EDISUD, 550 p.

Dubois J.J., 1989, “*Espaces et milieux forestiers dans le Nord de la France ; étude de biogéographie historique*”, Thèse de doctorat d’Etat en géographie, Université Paris-I, 1989, 1023 p.

Durand-Dastes F., Sanders L., 1984, “Les contrastes climatiques : noyaux et zones de transition”, in Theo Quant, *Géoscopie de la France*, Paradigme, Paris, 91-101.

Escofier B., 1978, “Analyse factorielle et distances répondant au principe d’équivalence distributionnelle”, *Revue de Statistique Appliquée*, No. 26, 29-37.

Escofier B., 1979, “Une représentation des variables dans l’analyse des correspondances multiples”. *Revue de Statistique Appliquée*, No. 27, 37-47.

Joly D., 2007, “L’information géographique au service de la climatologie”, Traité IGAT (Information Géographique et Aménagement du Territoire), in Carrega P., “*Information géographique et climatologie*”, Ed. Lavoisier, Hermes Science Publication, chap. 1 ; 23-72.

Joly D, 2009, “LISDQS : logiciel d’interpolation statistique de données quantitatives et spatiales”, (<http://thema.univ-fcomte.fr/LISDQS-un-nouveau-logiciel-d>)

Joly D., Brossard T., Cardot H., Cavaillès J., Hilal M., Wavreski P., 2009, “Interpolation par régressions locales : application aux précipitations en France”, *L’Espace Géographique*, No 2, 157-170
DOI : 10.3917/eg.382.0157

Joly D., Gresset-Bourgeois C., Vermot-Desroches B., 2008, “Les pôles du froid en Franche-Comté”, Actes du XXI colloque de l’AIC, 9-13 sept. 2008, Montpellier, 361-366.

Keersmaecker M-L., 1987, “Stratégie d’échantillonnage des données de terrain intégrées dans l’analyse des images satellitaires”, *L’Espace Géographique*, No. 3, 195-205.
DOI : 10.3406/spgeo.1987.4245

Moreau M., Laffly D., Joly D., Brossard T., 2005, “Analysing of plant colonization on an arctic moraine since the end of the Little Ice Age using remotely sensed data and a Bayesian approach”, *Remote Sensing of Environment* 99, Elsevier Ed., 244-253.


Plutowski M., Sakata S., White H., 1994, “Cross-validation estimates IMSE”, In: Cowan J.D., Tesauro G., Alspector J. (eds), *Advances in Neural Information Processing Systems* No. 6, San Mateo, Californie: Morgan Kaufman (publ.), 391–398.

Stone M., 1974, “Cross-Validation Choice and Assessment of Statistical predictions”, *Journal of the Royal Statistical Society B*, No. 36, 111-147.

Taylor B. L., Wade P. R., Stehn R. A. and Cochrane J. F., 1996, “A Bayesian Approach to Classification Criteria for Spectacled Eiders”, *Ecological Applications*, vol. 6, No. 4, 1077-1089.
DOI : 10.2307/2269592

Annex

Annexe 1 : Liste des cartes climatiques à télécharger

Titres	PNG	ASC
	TMO	TMO
;	TMN	TMN
30°C	TMX	TMX
	TAM	TAM
ures en janvier (écart-type 1971-2000)	TEH	TEH
ures en juillet (écart-type 1971-2000)	TEE	TEE
	PTO	PTO
	PJH	PJH
janvier	PDH	PDH
juillet	PDE	PDE

Jours de précipitations en juillet	PJE	PJE
Variabilité interannuelle des précipitations en janvier (écart-type 1971-2000)	PEH	PEH
Variabilité interannuelle des précipitations en juillet (écart-type 1971-2000)	PEE	PEE
Précipitations, rapport (sep. + oct.) / juillet	PRA	PRA
Analyse des correspondances, axe 1	AFC1	
Analyse des correspondances, axe 2	AFC2	
Analyse des correspondances, axe 3	AFC3	
Analyse des correspondances, synthèse RVB	AFCS	
Typologie des climats français	TYPO	TYPO
Espace de distribution probable du type 1	PRBT1	
Espace de distribution probable du type 2	PRBT2	
Espace de distribution probable du type 3	PRBT3	
Espace de distribution probable du type 4	PRBT4	
Espace de distribution probable du type 5	PRBT5	
Espace de distribution probable du type 6	PRBT6	
Espace de distribution probable du type 7	PRBT7	
Espace de distribution probable du type 8	PRBT8	

Les cartes issues du présent travail sont disponibles sous la forme de fichiers téléchargeables pour une visualisation directe (format PNG) et pour être gérées par SIG (format ASC). L'usage de ces fichiers est strictement limité au domaine des services publics. Toute exploitation de la base climatique, totale ou partielle (cartes, tableaux, etc.), doit être accompagnée de la mention de la source décrite ainsi :

Source : Base de données climatiques communales 2009. THEMA Université de Franche-Comté, CNRS UMR6049 (F-25000 Besançon) /CESAER INRA UMR1041 (F-21000 Dijon) ; d'après Météo France 1971-2000.

À partir du tableau ci-dessus, il est possible de télécharger l'ensemble des cartes qui ont servi à cet article sous deux formats png et asc (à l'exception des cartes, soit issues de l'AFC, soit relatives à l'espace de distribution probable des 8 types, qui sont seulement disponibles au format png) :

– format PNG : il s'agit de documents d'illustration avec titres et légendes. L'incrustation d'un fond départemental facilite le repérage.

l'information géoréférencées exploitables par SIG avec les



This site uses cookies and gives you control over what you want to activate

test

000

: 4000

res

télécharger

e=1

format TXT, comporte 36267 lignes (une par commune) et identifiant communal INSEE, les 14 variables climatiques type climatique où se range la commune.

La valeur codant l'absence de données est -9999.

La signification du code qui identifie chaque variable climatique est donnée au tableau 3 qui figure dans le corps de l'article.

Attachments

-
- Document 1 (application/pdf – 265k)
-
- Document 2 (application/pdf – 200k)
-
- Document 3 (application/pdf – 76k)
-
- Document 4 (application/pdf – 51k)
-
- Document 5 (application/pdf – 101k)
-
- Température moyenne annuelle (PNG) (image/png – 837k)
-
- Température moyenne annuelle (ASC) (application/zip – 6.0M)
-
- Jours/an de minimum inférieur à -5°C (PNG) (image/png – 773k)
-
- Jours/an de minimum inférieur à -5°C (ASC) (application/zip – 11M)
-
- Jours/an de maximum supérieur à + 30°C (PNG) (image/png – 835k)
-
- Jours/an de maximum supérieur à + 30°C (ASC) (application/zip – 10M)
-
- Amplitude thermique juillet/janvier (PNG) (image/png – 752k)
-
- Amplitude thermique juillet/janvier (ASC) (application/zip – 6.1M)
-
- Variabilité interannuelle des températures en janvier (écart-type 1971-2000) (PNG) (image/png – 694k)
-
- Variabilité interannuelle des températures en janvier (écart-type 1971-2000) (ASC) (application/zip – 2.3M)
-



This site uses cookies and gives you control over what you want to activate

- s températures en juillet (écart-type 1971-2000)
- s températures en juillet (écart-type 1971-2000)
- ions (PNG) (image/png – 744k)
- ions (ASC) (application/zip – 19M)
- anvier (PNG) (image/png – 854k)
- anvier (ASC) (application/zip – 7.2M)
- yenne en janvier (PNG) (image/png – 1.1M)


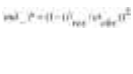
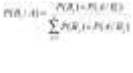



- Précipitations, écart à la moyenne en janvier (ASC) (application/zip – 12M)
-
- Précipitations, écart à la moyenne en juillet (PNG) (image/png – 931k)
-
- Précipitations, écart à la moyenne en juillet (ASC) (application/zip – 13M)
-
- Jours de précipitations en juillet (PNG) (image/png – 692k)
-
- Jours de précipitations en juillet (ASC) (application/zip – 5.5M)
-
- Variabilité interannuelle des précipitations en janvier (écart-type 1971-2000) (PNG) (image/png – 769k)
-
- Variabilité interannuelle des précipitations en janvier (écart-type 1971-2000) (ASC) (application/zip – 13M)
-
- Variabilité interannuelle des précipitations en juillet (écart-type 1971-2000) (PNG) (image/png – 1.1M)
-
- Variabilité interannuelle des précipitations en juillet (écart-type 1971-2000) (ASC) (application/zip – 11M)
-
- Précipitations, rapport (sep. + oct.) / juillet (PNG) (image/png – 689k)
-
- Précipitations, rapport (sep. + oct.) / juillet (ASC) (application/zip – 4.8M)
-
- Analyse des correspondances, axe 1 (PNG) (image/png – 2.3M)
-
- Analyse des correspondances, axe 2 (PNG) (image/png – 2.2M)
-
- Analyse des correspondances, axe 3 (PNG) (image/png – 1.8M)
-
- Analyse des correspondances, synthèse RVB (PNG) (image/png – 3.9M)
-
- Typologie des climats français (PNG) (image/png – 574k)
-
- Typologie des climats français (ASC) (application/zip – 673k)
-
- Espace de distribution probable du type 1 (PNG) (image/png – 3.1M)



This site uses cookies and gives you control over what you want to activate

- Espace de distribution probable du type 2 (PNG) (image/png – 3.1M)
- Espace de distribution probable du type 3 (PNG) (image/png – 3.6M)
- Espace de distribution probable du type 4 (PNG) (image/png – 3.0M)
- Espace de distribution probable du type 5 (PNG) (image/png – 3.4M)
- Espace de distribution probable du type 6 (PNG) (image/png – 3.2M)
- Espace de distribution probable du type 7 (PNG) (image/png – 2.5M)
- Espace de distribution probable du type 8 (PNG) (image/png – 2.3M)
- Espace de distribution probable du type 9 (PNG) (image/png – 3.5M)

List of illustrations

	Title	Figure 1. Localisation des 2031 stations pluviométriques (A) et des 651 stations qui enregistrent la température (B)
	Credits	Source : Météo-France
	URL	http://journals.openedition.org/cybergegeo/docannexe/image/23155/img-1.png
	File	image/png, 1.9M
	URL	http://journals.openedition.org/cybergegeo/docannexe/image/23155/img-2.png
	File	image/png, 3.5k
	URL	http://journals.openedition.org/cybergegeo/docannexe/image/23155/img-3.png
	File	image/png, 6.3k
	Title	Figure 2. Typologie climatique du territoire français en 8 classes
	URL	http://journals.openedition.org/cybergegeo/docannexe/image/23155/img-4.png
	File	image/png, 1.3M
	Title	Figure 3 : Espace de distribution probable des types climatiques : gradients factoriels et gradients géographiques
	URL	http://journals.openedition.org/cybergegeo/docannexe/image/23155/img-5.png
	File	image/png, 1.5M
	Title	Figure 4. Schéma synthétique de l'espace des climats
	URL	http://journals.openedition.org/cybergegeo/docannexe/image/23155/img-6.png
	File	image/png, 611k

References

Electronic reference

Daniel Joly, Thierry Brossard, Hervé Cardot, Jean Cavailhes, Mohamed Hilal and Pierre Wavresky, « Les types de climats en France, une construction spatiale », *Cybergegeo: European Journal of Geography* [Online], Cartography, Images, GIS, document 501, Online since 18 June 2010, connection on 22 December 2022. URL : <http://journals.openedition.org/cybergegeo/23155> ; DOI : <https://doi.org/10.4000/cybergegeo.23155>

This article is cited by



This site uses cookies and gives you control over what you want to activate

Jupy, Joseph P.. (2019) *Landscape Series Collateral* 3-030-18991-4_5

ier, J.-D.. Guerin, A.. Arrouays, D.. Caubet, M.. 20) Do climate and land use affect the pool of total gital soil mapping approach of French topsoils. 16/j.geoderma.2020.114175

ie. Ripoche, Dominique. Gouache, David. Buis, (uber, Laurent. Brun, François. Bancal, Marie Odile. ts on leaf rust of wheat: Implementing a coupled nch regional application. *European Journal of* 16/j.eja.2017.07.004

ga, Guillaume. Argagnon, Olivier. Soubeyrand, em. Alleaume, Samuel. Luque, Sandra. (2019)

Biogeographical network analysis of plant species distribution in the Mediterranean region. *Ecology and Evolution*, 9. DOI: 10.1002/ece3.4718

- Duranel, Arnaud. Thompson, Julian R.. Burningham, Helene. Durepaire, Philippe. Garambois, Stéphane. Wyns, Robert. Cubizolle, Hervé. (2021) Modelling the hydrological interactions between a fissured granite aquifer and a valley mire in the Massif Central, France. *Hydrology and Earth System Sciences*, 25. DOI: 10.5194/hess-25-291-2021
- Schoetter, Robert. Hidalgo, Julia. Jouglu, Renaud. Masson, Valéry. Rega, Mario. Pergaud, Julien. (2020) A Statistical–Dynamical Downscaling for the Urban Heat Island and Building Energy Consumption—Analysis of Its Uncertainties. *Journal of Applied Meteorology and Climatology*, 59. DOI: 10.1175/JAMC-D-19-0182.1
- Beauvais, François. Cantat, Olivier. Madeline, Philippe. Le Gouée, Patrick. Brunel-Muguet, Sophie. Medjkane, Mohand. (2019) Quelles conséquences du changement climatique sur le blé tendre en Normandie aux horizons 2050 et 2100 ?. *Climatologie*, 16. DOI: 10.4267/climatologie.1414
- Loiseau, Thomas. Richer-de-Forges, Anne C.. Martelet, Guillaume. Bialkowski, Anne. Nehlig, Pierre. Arrouays, Dominique. (2020) Could airborne gamma-spectrometric data replace lithological maps as co-variates for digital soil mapping of topsoil particle-size distribution? A case study in Western France. *Geoderma Regional*, 22. DOI: 10.1016/j.geodrs.2020.e00295
- Chen, Songchao. Mulder, Vera Leatitia. Martin, Manuel P.. Walter, Christian. Lacoste, Marine. Richer-de-Forges, Anne C.. Saby, Nicolas P.A.. Loiseau, Thomas. Hu, Bifeng. Arrouays, Dominique. (2019) Probability mapping of soil thickness by random survival forest at a national scale. *Geoderma*, 344. DOI: 10.1016/j.geoderma.2019.03.016
- Loiseau, Thomas. Arrouays, Dominique. Richer-de-Forges, Anne C.. Lagacherie, Philippe. Ducommun, Christophe. Minasny, Budiman. (2021) Density of soil observations in digital soil mapping: A study in the Mayenne region, France. *Geoderma Regional*, 24. DOI: 10.1016/j.geodrs.2021.e00358
- Hamrouni, Yousra. Paillassa, Eric. Chéret, Véronique. Monteil, Claude. Sheeren, David. (2022) Sentinel-2 Poplar Index for Operational Mapping of Poplar Plantations over Large Areas. *Remote Sensing*, 14. DOI: 10.3390/rs14163975
- Duranel, Arnaud. Thompson, Julian R.. Burningham, Helene. Durepaire, Philippe. Garambois, Stéphane. Wyns, Robert. Cubizolle, Hervé. Bataille, Marie-Paule. Sallent, Augustin. Medjkane, Mohand. (2022) Consequences of climate change on 2100: prospective bioclimatic simulation based on climate and WRF regional models. *Theoretical and Applied Climatology*, 171. DOI: 10.1007/s00704-022-03938-4
- Sheeren, David. Herrault, Pierre-Alexis. Sheeren, David. Monteil, Claude. Lagacherie, Philippe. Ducommun, Christophe. Minasny, Budiman. (2021) The Spatial Dependency of NDVI Satellite Imagery in France. *Remote Sensing*, 10. DOI: 10.3390/rs10101710
- Joly, Daniel. Crétat, Julien. Richard, Yves. Pergaud, Julien. Dudek, Julita. Vairet, Thibaut. Joly, Daniel. (2021) How local climate zones influence urban air temperatures by bicycle in Dijon, France. *Urban Climate*, 40. DOI: 10.1016/j.urcl.2021.100907



This site uses cookies and gives you control over what you want to activate

- Mallet, Florian. Marc, Vincent. Douvinet, Johnny. Rossello, Philippe. Joly, Daniel. Ruy, Stéphane. (2020) Assessing soil water content variation in a small mountainous catchment over different time scales and land covers using geographical variables. *Journal of Hydrology*, 591. DOI: 10.1016/j.jhydrol.2020.125593
- Launay, Marie. Caubel, Julie. Bourgeois, Gaétan. Huard, Frédéric. Garcia de Cortazar-Atauri, Iñaki. Bancal, Marie-Odile. Brisson, Nadine. (2014) Climatic indicators for crop infection risk: Application to climate change impacts on five major foliar fungal diseases in Northern France. *Agriculture, Ecosystems & Environment*, 197. DOI: 10.1016/j.agee.2014.07.020
- Graux, A.-I.. Resmond, R.. Casellas, E.. Delaby, L.. Faverdin, P.. Le Bas, C.. Ripoche, D.. Ruget, F.. Thérond, O.. Vertès, F.. Peyraud, J.-L.. (2020) High-resolution assessment of French grassland dry matter and nitrogen yields. *European Journal of Agronomy*, 112. DOI: 10.1016/j.eja.2019.125952
- Sarafian, Ron. Kloog, Itai. Sarafian, Elad. Hough, Ian. Rosenblatt, Jonathan D.. (2021) A Domain Adaptation Approach for Performance Estimation of Spatial Predictions. *IEEE Transactions on Geoscience and Remote Sensing*, 59. DOI: 10.1109/TGRS.2020.3012575
- Ruiz Diaz Britez, Manuela. Sergent, Anne-Sophie. Martinez Meier, Alejandro. Bréda, Nathalie. Rozenberg, Philippe. (2014) Wood density proxies of adaptive traits linked with resistance to drought in Douglas fir (*Pseudotsuga menziesii* (Mirb.) Franco). *Trees*, 28. DOI: 10.1007/s00468-014-1003-4
- Richer-de-Forges, Anne C.. Arrouays, Dominique. Chen, Songchao. Román Dobarco, Mercedes. Libohova, Zamir. Roudier, Pierre. Minasny, Budiman. Bourennane, Hocine. (2022) Hand-feel soil texture and particle-size distribution in central France. Relationships and implications. *CATENA*, 213. DOI: 10.1016/j.catena.2022.106155
- Román Dobarco, Mercedes. Orton, Thomas G.. Arrouays, Dominique. Lemerrier, Blandine. Paroissien, Jean-Baptiste. Walter, Christian. Saby, Nicolas P.A.. (2016) Prediction of soil texture using descriptive statistics and area-to-point kriging in Region Centre (France). *Geoderma Regional*, 7. DOI: 10.1016/j.geodrs.2016.03.006
- Lucas, Benjamin. Pelletier, Charlotte. Schmidt, Daniel. Webb, Geoffrey I.. Petitjean, François. (2021) A Bayesian-inspired, deep learning-based, semi-ion technique for land cover mapping. *Machine* 0994-020-05942-z



This site uses cookies and gives you control over what you want to activate

, Alice. Degan, Francesca. Manneville, Vincent. Saby, e. (2021) Spreading herbivore manure in livestock content, while granivore manure decreases it. *Development*, 41. DOI: 10.1007/s13593-021-00682-3

.. (2017) Spatio-temporal trends in fire weather in *The Total Environment*, 595. DOI: 10.1016/j.totenv.2017.02.027

ly, Daniel. Gilbert, Daniel. Toussaint, Marie-Laure. van-Michel. Bernard, Nadine. (2016) Modelling and simulation in Sphagnum peatlands at the European level of pollutant emissions dispersion. *Environmental* 15/j.envpol.2016.03.036

- Courant, Julien. Secondi, Jean. Guillemet, Lucile. Vollette, Elise. Herrel, Anthony. (2019) Rapid changes in dispersal on a small spatial scale at the range edge of an expanding population. *Evolutionary Ecology*, 33. DOI: 10.1007/s10682-019-09996-x
- Piarroux, M. Gaudart, J. Bresson-Hadni, S. Bardonnnet, K. Faucher, B. Grenouillet, F. Knapp, J. Dumortier, J. Watelet, J. Gerard, A. Beytout, J. Abergel, A. Wallon, M. Vuitton, D A. Piarroux, R. the FrancEchino network, collective. (2015) Landscape and climatic characteristics associated with human alveolar echinococcosis in France, 1982 to 2007. *Eurosurveillance*, 20. DOI: 10.2807/1560-7917.ES2015.20.18.21118
- Ceglar, Andrej. Toreti, Andrea. Lecerf, Rémi. Van der Velde, Marijn. Dentener, Frank. (2016) Impact of meteorological drivers on regional inter-annual crop yield variability in France. *Agricultural and Forest Meteorology*, 216. DOI: 10.1016/j.agrformet.2015.10.004
- Ollive, Vincent. Ernst, Thomas. Franck, Justine. Meyer, Nicolas. Thomashaussen, Laurent. Viller, Sébastien. (2016) L'Érosion agricole d'un petit bassin versant lorrain depuis 2000 ans : Géoarchéologie de la LGV-Est européenne. *Quaternaire*. DOI: 10.4000/quaternaire.7518
- Inglada, Jordi. Vincent, Arthur. Arias, Marcela. Tardy, Benjamin. Morin, David. Rodes, Isabel. (2017) Operational High Resolution Land Cover Map Production at the Country Scale Using Satellite Image Time Series. *Remote Sensing*, 9. DOI: 10.3390/rs9010095
- Obiang Ndong, Gregory. Villerd, Jean. Cousin, Isabelle. Therond, Olivier. (2021) Using a multivariate regression tree to analyze trade-offs between ecosystem services: Application to the main cropping area in France. *Science of The Total Environment*, 764. DOI: 10.1016/j.scitotenv.2020.142815
- Chevalier, L.. Laignel, B.. Massei, N.. Munier, S.. Becker, M.. Turki, I.. Coynel, A.. Cazenave, A.. (2014) Hydrological variability of major French rivers over recent decades, assessed from gauging station and GRACE observations. *Hydrological Sciences Journal*, 59. DOI: 10.1080/02626667.2013.866708
- Lebert, Isabelle. Bord, Séverine . Saint-Andrieux, Christine. Cassar, Eva. Gasqui, Patrick. Beugnet, Frédéric. Chalvet-Monfray, Karine. Vanwambeke, Sophie O.. Vourc'h, Gwenaël. René-Martellet, Magalie. (2022) Habitat suitability map of *Ixodes ricinus* tick in France using multi-criteria analysis. DOI: 10.4081/gh.2022.1058



This site uses cookies and gives you control over what you want to activate

t, Gérard. Augiron, Steve. Baudry, Jacques.
) Geographical generality of bird-habitat
pecies traits. *Diversity and Distributions*, 23. DOI:

ard, Vincent. Lague, Dimitri. Duclaux, Guillaume.
cilla. Bellier, Olivier. (2022) Investigation of
n models across a climatic and morphological
namics, 10. DOI: 10.5194/esurf-10-473-2022

astien. Massei, Nicolas. Fournier, Matthieu. Laignel,
e. (2021) Spatiotemporal and cross-scale interactions
a case-study in France. *Hydrology and Earth
O.5194/hess-25-5683-2021*

- Caubel, Julie. García de Cortázar-Atauri, Iñaki. Launay, Marie. de Noblet-Ducoudré, Nathalie. Huard, Frédéric. Bertuzzi, Patrick. Graux, Anne-Isabelle. (2015) Broadening the scope for ecoclimatic indicators to assess crop climate suitability according to ecophysiological, technical and quality criteria. *Agricultural and Forest Meteorology*, 207. DOI: 10.1016/j.agrformet.2015.02.005
- Eveno, Maëlle. Planchon, Olivier. Oszwald, Johan. Dubreuil, Vincent. Quénol, Hervé. (2016) Variabilité et changement climatique en France de 1951 à 2010 : analyse au moyen de la classification de Köppen et des « types de climats annuels ». *Climatologie*, 13. DOI: 10.4267/climatologie.1203
- Joly, Daniel. Brossard, Thierry. Cardot, Hervé. Cavailhes, Jean. Hilal, Mohamed. Wavresky, Pierre. (2011) Temperature interpolation based on local information: the example of France. *International Journal of Climatology*, 31. DOI: 10.1002/joc.2220
- Bouvier, Marc. Durrieu, Sylvie. Fournier, Richard A.. Renaud, Jean-Pierre. (2015) Generalizing predictive models of forest inventory attributes using an area-based approach with airborne LiDAR data. *Remote Sensing of Environment*, 156. DOI: 10.1016/j.rse.2014.10.004
- Fressard, M.. Cossart, E.. (2019) A graph theory tool for assessing structural sediment connectivity: Development and application in the Mercurey vineyards (France). *Science of The Total Environment*, 651. DOI: 10.1016/j.scitotenv.2018.10.158
- Joly, Daniel. Richard, Yves. (2018) Topographic descriptors and thermal inversions amid the plateaus and mountains of the Jura (France). *Climatologie*, 15. DOI: 10.4267/climatologie.1335
- Schaffar, Alexandra. Dimou, Michel. Mouhoud, El Mouhoub. (2019) The determinants of elderly migration in France. *Papers in Regional Science*, 98. DOI: 10.1111/pirs.12374
- Joly, Daniel. Langrognet, Florent. (2016) Pertinence du découpage spatial produit par deux méthodes de classification (CHA et MIXMOD). Application aux climats français. *Cybergeo*. DOI: 10.4000/cybergeo.27414
- Amorim, Margarete. Dubreuil, Vincent. (2017) Intensity of Urban Heat Islands in Tropical and Temperate Climates. *Climate*, 5. DOI: 10.3390/cli5040091





This site uses cookies and gives you control over what you want to activate

ichez, J.L.. (2011) Regional and yearly variations of / in France. *Atmospheric Research*, 100. DOI: 1.008

l, Vincent. (2020) A geostatistical approach to create regional scale: case study of New Brunswick, Canada. *imatology*, 139. DOI: 10.1007/s00704-019-02961-2

las. Rey, Gregoire. Valleron, Alain-Jacques. (2017) ture-mortality relationship in foreign born and native n 2000 and 2009. *International Journal of* 0.1007/s00484-017-1373-6

d, Yves. Joly, Daniel. Bois, Benjamin. (2018) Climate egrowing region. *E3S Web of Conferences*, 50. DOI: 003

- 

 This site uses cookies and
 [DOI: 10.1016/j.uclim.2018.10.002](https://doi.org/10.1016/j.uclim.2018.10.002)



This site uses cookies and gives you control over what you want to activate

- s. Deshayes, Michel. Ducrot, Danielle. (2017)
of MODIS-derived land units. *GIScience & Remote*
15481603.2016.1256861
- ar-Atauri, I.. Vivant, A.C.. Launay, M.. de Noblet-
sing future meteorological stresses for grain maize in
ns, 159. DOI: 10.1016/j.agsy.2017.02.010
- Anne. Chuine, Isabelle. (2018) Limited validation of
shift in ten European tree species from a common
Ecology and Management, 410. DOI:

- Jalón-Rojas, Isabel. Castelle, Bruno. (2021) Climate Control of Multidecadal Variability in River Discharge and Precipitation in Western Europe. *Water*, 13. DOI: 10.3390/w13030257
- Cantat, Olivier. Planchon, Olivier. Quénot, Hervé. Savouret, Edwige. Bois, Benjamin. Beauvais, François. Brunel-Muguet, Sophie. (2019) Gelées tardives et viticulture en basse et moyenne Vallée de la Loire (France). *Climatologie*, 16. DOI: 10.4267/climatologie.1413
- Clivot, Hugues. Petitjean, Caroline. Marron, Nicolas. Dallé, Erwin. Genestier, Julie. Blaszczyk, Nicolas. Santenoise, Philippe. Laflotte, Alexandre. Piutti, Séverine. (2020) Early effects of temperate agroforestry practices on soil organic matter and microbial enzyme activity. *Plant and Soil*, 453. DOI: 10.1007/s11104-019-04320-6
- Mulder, Vera L.. Lacoste, Marine. Martin, Manuel P.. Richer-de-Forges, Anne. Arrouays, Dominique. (2015) Understanding large-extent controls of soil organic carbon storage in relation to soil depth and soil-landscape systems. *Global Biogeochemical Cycles*, 29. DOI: 10.1002/2015GB005178
- Bosq, Mathieu. Bertran, Pascal. Degeai, Jean-Philippe. Kreutzer, Sebastian. Queffelec, Alain. Moine, Olivier. Morin, Eymeric. (2018) Last Glacial aeolian landforms and deposits in the Rhône Valley (SE France): Spatial distribution and grain-size characterization. *Geomorphology*, 318. DOI: 10.1016/j.geomorph.2018.06.010

About the authors

Daniel Joly

Directeur de Recherche au CNRS, ThéMA, Université de Franche-Comté, UMR 6049 CNRS, Besançon, daniel.joly@univ-fcomte.fr

By this author

PixScape – un outil logiciel intégré pour l'analyse du paysage visible [Full text]

Article 799

Published in *Cybergeog: European Journal of Geography*, Model Papers

Pertinence du découpage spatial produit par deux méthodes de classification (CHA et MIXMOD). Application aux climats français [Full text]

Article 761

Published in *Cybergeog: European Journal of Geography*, Cartography, Images, GIS

Thierry Brossard

Directeur de Recherche au CNRS, ThéMA, Université de Franche-Comté, UMR 6049 CNRS,



This site uses cookies and gives you control over what you want to activate

e, Université de Bourgogne, Dijon, France

AER, UMR 1041, INRA, Dijon, France

AER, UMR 1041, INRA, Dijon, France

tiques des AOC viticoles de Côte-d'Or [Full text]

ial of Geography, Data Papers

nce : le rôle de la distance à la ville [Full text]

Published in *Cybergeog: European Journal of Geography*, Topics

Modélisation des déplacements domicile/travail et des déplacements associés et des déplacements associés [Abstract]

Published in *Cybergeog: European Journal of Geography*, Topics

Pierre Wavresky

Ingénieur d'études à l'INRA, CESAER, UMR 1041, INRA, Dijon, France
pierre.wavresky@dijon.inra.fr

Copyright



Creative Commons - Attribution 4.0 International - CC BY 4.0

<https://creativecommons.org/licenses/by/4.0/>



This site uses cookies and
gives you control over what
you want to activate